

Documentation preserved at the Ebro Observatory (Roquetes - Spain),
reproduced on 2002 by SGA Storia Geofisica Ambiente (Bologna)
on behalf of the Istituto Nazionale di Geofisica e Vulcanologia (Rome),
in the frame of the EUROSEISMOS project.
These data are considered public domain and may be freely distributed
or copied for non-profit purposes provided the project is properly quoted.

OBSERVATORIO DE FÍSICA CÓSMICA DEL EBRO

SITUADO EN ROQUETAS

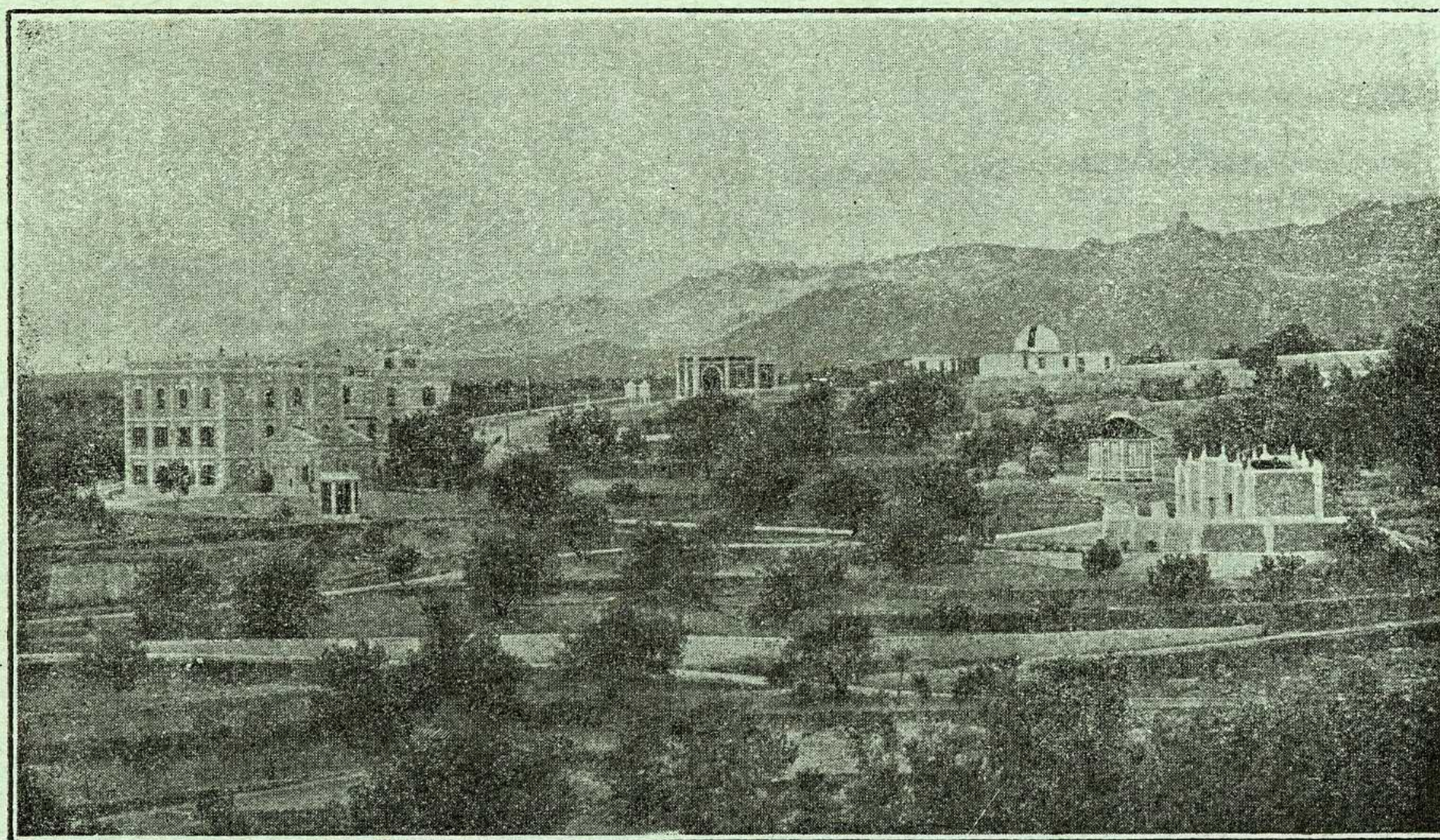
AGREGADO AL COLEGIO MÁXIMO DE LA COMPAÑÍA DE JESÚS
DECLARADO DE UTILIDAD PÚBLICA

Lat. N. 40° 49' 14" ; Long. E. Greenwich 0^h 1^m 58' 4^s; Alt. 50 m.

BOLETÍN MENSUAL

DEL

OBSERVATORIO DEL EBRO



NOVIEMBRE DE 1930

VOL. XXI. - NÚM. 11

Dirección postal: OBSERVATORIO DEL EBRO - Apartado 9 - TORTOSA (España)

IMPRESA MODERNA DEL EBRO DE ALGUERÓ Y BAIGES

C. CERVANTES - TORTOSA

2. — SISMOLOGÍA

| SISMÓGRAFOS | COMPONENTE | AMPLIFICACIÓN | PERÍODO | AMORTIGUAMIENTO | r / T_0^2 | MASA EN KGS. |
|--------------------|------------|---------------|--------------------|-----------------|-------------|--------------|
| | K | V | T_0 | $\epsilon : 1$ | | M |
| HORIZONTALES . . . | N | 240 | 14' 8 ^s | 2' 2 | 0'006 | 1500'9 |
| | E | 123 | 7' 8 | 3' 0 | 0'004 | 156'7 |
| VERTICAL | N | 110 | 2' 6 | | 0'003 | 316'3 |
| ZENITAL | Z | 50 | 0' 8 | | 0'008 | 50 |

Subsuelo: Conglomerado perteneciente al Cuaternario antiguo.

Velocidad del papel en todos los sismógrafos: 12 mm. por minuto. — Los datos horarios de las fases en cada componente se toman del sismógrafo que parece haberlos dado con más precisión, atendidas sus características.

Registro de Temblores

| Número de orden | Fecha | Fase | Tiempo medio de Greenwich | | | Período | Amplitud An | Δ | OBSERVACIONES |
|-----------------|-------|------|---------------------------|----|----|---------|-------------|----------|--|
| | | | h | m | s | | | | |
| 2037 | 9 | PN | 19 | 29 | 06 | 22 | 17 | 179207 | Epicentro en Sorong y Manokwari, NW de Nueva Guinea, según Batavia. |
| | | PE | | 29 | 05 | | | | |
| | | ?SN | | 45 | 28 | | | | |
| | | eLN | 20 | 02 | | | | | |
| | | eLE | | 00 | | | | | |
| | | MN | 18 | 20 | | | | | |
| | | ME | 19 | 35 | | | | | |
| | | FN | 22 | | | | | | |
| FE | 21 | 15 | | | | | | | |
| 2038 | 10 | ?SN | 14 | 22 | 15 | 20 | 3 | | |
| | | eLN | | 41 | | | | | |
| | | MN | | 58 | 07 | | | | |
| | | FN | 16 | 30 | | | | | |
| 2039 | 17 | eLN | 12 | 10 | | 25 | 1 | | |
| | | MN | | 20 | 28 | | | | |
| 2040 | 21 | PN | 2 | 03 | 52 | 13 | 16 | 1450 | Epicentro: 40'5° N, 19'5° E, en Albania, según Estraburgo. |
| | | iPE | | 03 | 51 | | | | |
| | | ?SN | | 06 | 28 | | | | |
| | | LN | | 07 | 00 | | | | |
| | | LE | | 08 | 21 | | | | |
| | | ME | 13 | 28 | | | | | |
| 2041 | 25 | ePN | 19 | 16 | 24 | 15 | 85 | 12030 | Epicentro hacia la región de Mishima (Japón), hacia los 35° N, 139° E. |
| | | ePN | | 16 | 36 | | | | |
| | | ?SN | | 28 | 46 | | | | |
| | | eLN | | 46 | | | | | |
| | | MN | 20 | 00 | 00 | | | | |
| | | ME | | 00 | 08 | | | | |
| | | FN | 21 | 45 | | | | | |
| FE | 21 | | | | | | | | |